

308 大気圧非平衡プラズマにおける亜酸化窒素の分解特性

Characteristics of N₂O Decomposition by Atmospheric Non-equilibrium Plasma

○正 神原 信志 (岐阜大) 学 阿部 将典 (岐阜大) 学 古谷野 文香 (岐阜大)

Shinji KAMBARA, Gifu University, Graduate School, 1-1 Yanagido, Gifu, Japan

Masanori ABE, Gifu University

Ayaka Koyano, Gifu University

Fundamental characteristics of N₂O decomposition by atmospheric non-equilibrium plasma were investigated to reduce greenhouse effects under an atmospheric temperature without catalysts. A pulsed dielectric barrier discharge (DBD) with a one-cycle sinusoidal-wave power source was employed. Plasma conditions (applied voltages and its repetition rates), gas composition, and gas flow rate were varied. In N₂O-O₂-Ar system, an N₂O concentration of 30 ppm was completely decomposed by DBD at O₂ = 0%, but the rate of N₂O decomposition was decreased with increasing O₂ concentration. The energy efficiency was 0.5 g-N₂O/kWh. Unfortunately, in N₂O-O₂-N₂ system: N₂O in actual flue gas was not decomposed by DBD under excess O₂. Formation and decomposition mechanisms of N₂O were experimentally discussed. N₂O formation, N₂ + O → N₂O, is a dominant reaction below O₂ = 5% in nitrogen rich gas.

Key Words: Nitrous oxide, Non-equilibrium plasma, Decomposition, DBD

1. 緒言

地球温暖化を加速する温室効果ガスには、二酸化炭素のほかにメタン、亜酸化窒素(N₂O)、クロロフルオロカーボン類(CFCs)がある。モントリオール議定書で生産が規制されたCFCs大気中濃度は減少しつつあるが、CH₄, N₂OはCO₂と同様に大気中濃度は増加しつづけている¹⁾。特にN₂Oは温室効果(赤外線吸収効果)だけではなく、CFCsのようにオゾン層破壊を引き起こす物質であり(温暖化係数約300)，その排出濃度低減あるいは分解処理方法の開発が急がれている。

N₂Oは化石燃焼や廃棄物の燃焼、化学品製造工場、あるいは医療用麻酔の余剰ガスが主な排出源となっている。排ガス中N₂Oの除去技術としては、ガス温度が1000°C以上となるよう再燃焼する技術²⁾やゼオライト系触媒により300°C付近で70%程度分解する技術³⁾などがある。しかし、N₂Oが含まれる排ガスが大気温度付近の場合、再燃焼に必要な燃料や燃焼に伴って発生するCO₂を考慮すると、除去効率や温室ガス削減効果は低下する。また触媒を使用するとしても90%以上の高分解率は困難である。

大気圧非平衡プラズマ(Dielectric Barrier Discharge: DBD)は、燃焼による高温反応に比較すると、極めて容易に大きな電子エネルギーを得ることができるために、種々の物質の反応や変換に利用されている。ただし、駆動エネルギーは高級な

エネルギーである電気を使用するため、エネルギー効率には十分考慮する必要がある。

本研究は、大気温度で排出される排ガス中に含まれるN₂Oの高効率分解法を確立することを目的に、その第一段階として大気圧非平衡プラズマによるN₂O分解の諸特性を調べた。プラズマ条件(印加電圧)、ガス組成(N₂O/O₂/N₂/Ar)、ガス流量(ガス滞留時間)を変化させてN₂O分解率の変化を追跡した。

2. 実験装置および実験方法

Fig.1に実験装置の概要を示す。実験装置は、モデルガス(N₂O/O₂/N₂/Ar)供給部、DBD反応器、高電圧パルス電源、NOx/N₂O/O₂測定装置よりなっている。DBD反応器は長さ300mmの石英製円筒二重管構造である。内管内側には高電圧電極(SUS製、直径50mm、長さ275mm)を挿入し、外管外周に接地電極(SUS製、厚さ0.2mm、長さ200mm、パンチングメタル)を巻き付けた。外管と内管のすきま(ギャップ長)は1.5mmである。

モデルガス組成は、N₂O/Ar=30ppm固定として、O₂濃度を0～15%に変化させ、ArバランスまたはN₂バランスとしてマスフローコントローラーつきガスブレンダーで調整・混合した。すなわち、N₂O-O₂-Ar系またはN₂O/Ar-

O_2-N_2 系で N_2O 分解実験を行った。流量は、8.0 L/min を標準ケースとし、5.0 – 12.0 L/min の間で変化させた。モデルガスは DBD 反応器ギャップ部に供給した。

DBD は高周波電源(ハイデン研究所製 PHF-2K)を用いて発生させた。電源波形および特性はすでに報告したものと同じである⁴⁾。波形の測定には、高電圧プローブ(Tektronix, P6015A)とオシロスコープ(Tektronix, TDS3034B)を用いた。印加電圧 V_{pp} は最大 23 kV、周波数 R_R は 10 kHz を標準ケースとして 7 – 13 kV に変化させた。

ガス組成の変化は、DBD 反応器出口で K 熱電対によりガス温度を測定した後、 N_2O 分析計(HORIBA, VIA510)および NOx/O_2 分析計(SHIMAZU NOA-7000)で連続測定した。

N_2O 分解率%は次式で定義した。

$$\frac{[N_2O]_0 - [N_2O]_1}{[N_2O]_0} \times 100 \quad (1)$$

$[N_2O]_0$ はモデルガス中の N_2O 濃度 ppmv, dry, $[N_2O]_1$ は DBD 反応器出口ガス中の N_2O 濃度 ppmv, dry である。

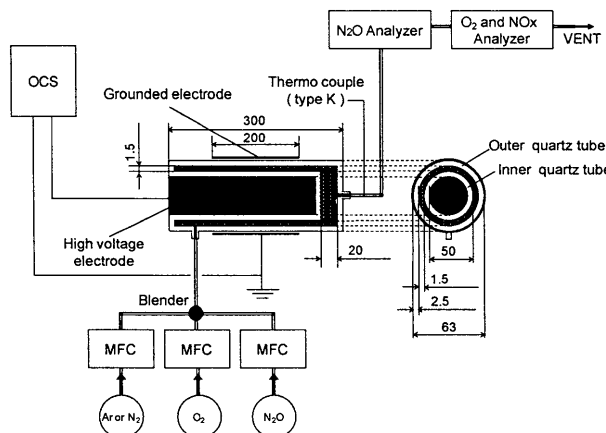


Fig.1 Schematic diagrams of experimental apparatus.

3. 実験結果および考察

3.1 N_2O-O_2-Ar 系

N_2O-O_2-Ar 系の実験では、DBD による N_2O 分解の基礎的な特性を明らかにできる。

Fig.2 に印加電圧に対する N_2O 分解率の変化を O_2 濃度をパラメータとして示す。 $O_2=0\%$ の時、11 kV の印加電圧で N_2O は完全に分解した。 O_2 を加えるとプラズマの点灯開始電圧が高くなるため、 V_{pp} は 17 – 23 kV で実験を行った。 O_2 濃度の上昇は、 N_2O 分解率の低下を引き起すが、 V_{pp} を増加させると分解率は比例的に増加した。ガス温度はジュール熱により 50–100°C に上昇した。

Fig.2 の横軸には、ガス物性と印加電圧から計算した DBD の電子平均エネルギーを示した。 $V_{pp}=7.0$ kV の時、電子平均エネルギーは 7.3 eV である。 N_2O ($N=N=O$) のうち $N=O$ の

解離エネルギーは 6.50 eV, $N=N$ の解離エネルギーは 9.76 eV であることを考えると、 $O_2=0\%$ の時、 $V_{pp}=7.0$ – 14.0 kV では $N=N=O$ のうち選択的に $N=O$ 結合の解離がプラズマによつて起こり、



となったものと考えられる。Fig.2 でわかるように $V_{pp}=11.0$ kV 以上では分解率が 100%に達していることから、(2)の反応の逆反応速度は、 N_2O 濃度が希薄である(30 ppm) ことも手伝つて、十分遅いものと推定される。

Fig.2 のデータをもとに、Fig.3 には O_2 濃度が分解率に及ぼす影響について投入電力をパラメータとして示した。少しの O_2 が加わるだけで N_2O 分解率は急激に減少し、酸素濃度に大きく依存していることがわかる。 O_2 存在下では印加電圧が高いために、電子平均エネルギーは 9.8 – 10.3 eV であり、 N_2O のうち $N=N$ 結合の一部も解離すると考えられる。



また、 O_2 の解離エネルギーは 5.12 eV であるから、



により、N や O ラジカルがプラズマ内に存在することで、



なる反応が起きる可能性がある。ただし、 N_2O が希薄なため(2)式で生成される N_2 、その N_2 から生成される N ラジカルも希薄であり、(5) – (7)の反応速度は酸素濃度に大きく依存する結果となったものと考えられる。尚、 NOx ($NO+NO_2$) はこの系でのすべての実験条件で検知されなかった(NOx の測定下限 0.25 ppm)。したがって、 N_2O 希薄条件下のこの系では、(5)の反応により N_2O が再生成することが O_2 存在時 N_2O 分解率低下の主要因であると考えられる。この点は、今後、素反応速度解析により定量的に確認する予定である。

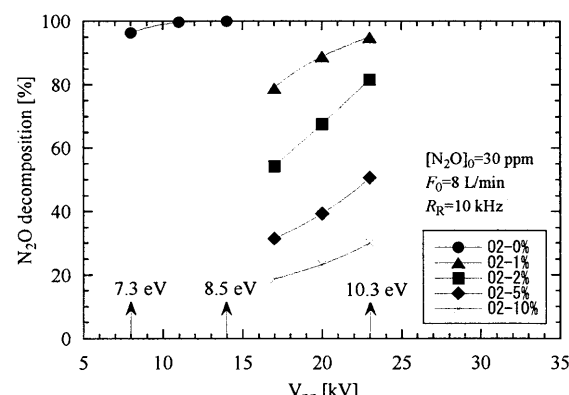


Fig.2 Characteristics of N_2O decomposition by DBD.

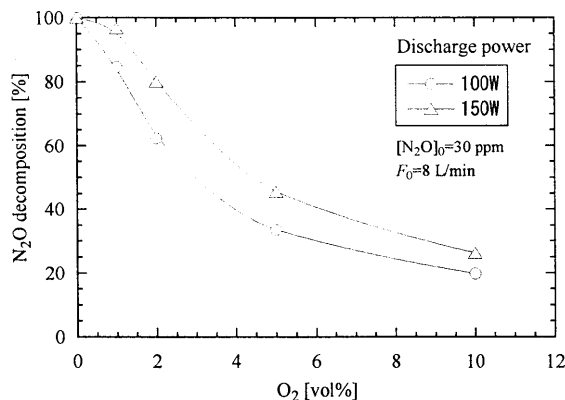


Fig.3 Effects of O_2 concentration and discharge power on N_2O decomposition in N_2O (30 ppm)- O_2 (0-10%)-Ar(balance) system.

Fig.4に、 O_2 濃度0, 1%の時のモデルガス流量(5-12 L/min)の影響を示した。 $O_2=0\%$ の時、50W以上ではいずれの流量においても N_2O 分解率は100%であり、(2)の反応が極めて迅速に起こっているものと考えられる。尚、標準状態でのDBD領域(接地電極の領域)のガス滞留時間は、0.27-0.64sである。一方、 $O_2=1\%$ の時、ガス流量の増加に伴い N_2O 分解率は減少する。これは、 $O_2=0\%$ の時の結果を考慮すると、滞留時間の減少による(2)式の反応率の低下というよりも、酸素の体積流量の増加による(5)式の N_2O 再生成が原因であると考えられる。

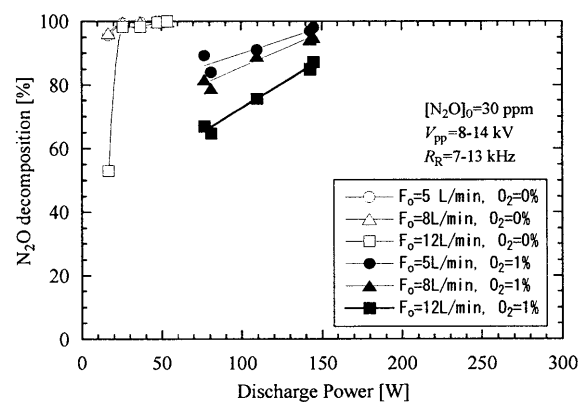


Fig.4 Effects of gas flow rate on N_2O decomposition at O_2 concentration of 0% and 1%.

Fig.5に O_2 濃度0, 1%の時のガス流量(滞留時間)と投入電力(印加電圧、周波数)の影響をエネルギー密度(反応器容積1 cm³あたりに投入したエネルギー)で整理した図を示す。酸素濃度が一定であれば、 N_2O 分解率はエネルギー密度でほぼ決定されることがわかった。

Fig.6は N_2O - O_2 -Ar系における N_2O 分解のエネルギー効

率の変化を投入エネルギーに対してプロットした図である。初期 N_2O 濃度でエネルギー効率は変化する可能性はあるが、本実験条件では N_2O 分解率100%を得ようとする場合($O_2=0\%$, 50W), 約0.5 g- N_2O /kWhであった。これを CO_2 換算すると155 g- CO_2 /kWhであり、大型火力発電所の CO_2 排出量975 g- CO_2 /kWhの約16%の削減効果につながる。本実験は N_2O が極めて希薄な条件を想定しているが、今後、 N_2O 濃度がエネルギー効率に影響するか、確認する予定である。

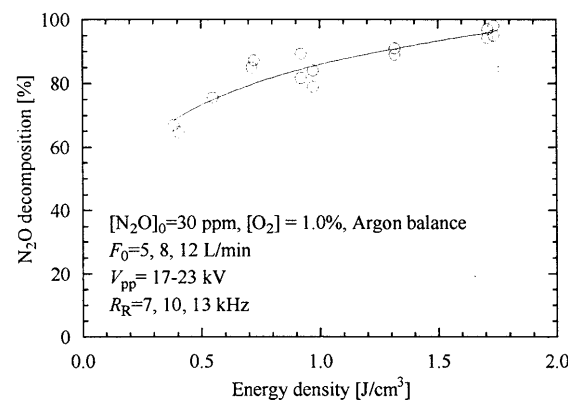


Fig.5 Effect of gas residence time on N_2O decomposition.

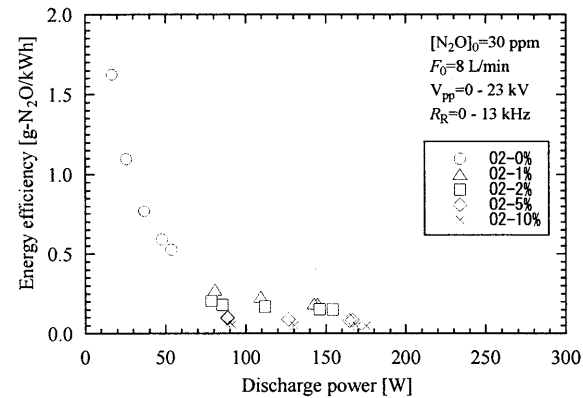


Fig.6 Energy efficiency of N_2O decomposition by DBD direct treatment in N_2O (30 ppm)- O_2 (0-10%)-Ar(balance) system.

3.2 N_2O /Ar- O_2 - N_2 系

N_2O を除去すべき実際の排ガスは、 N_2O - O_2 - N_2 系である。ここでは、 N_2O /Arボンベに O_2 および N_2 を混合することで、 N_2 リッチのモデルガスをつくり N_2O 分解特性を調べた。ここでは、 N_2 濃度を50%に固定し、 O_2 濃度を0-20%に変化させた。結果をFig.7に示す。

$O_2=0\%$ の場合は、 $V_{pp}=28$ kVで82.3%の分解率が得られたが(この時のエネルギー効率は、0.2 g- N_2O /kWh), O_2 存在下では逆に N_2O が増加する結果となった。これは高濃度の N_2

と O_2 が共存することによって、(5)式の反応が進んだ結果と思われる。また、 $V_{pp}=28\text{ kV}$ では 10–30 ppm の NOx の生成がみられた。この場合、(6)および(7)の反応により NOx が生成したものと考える。

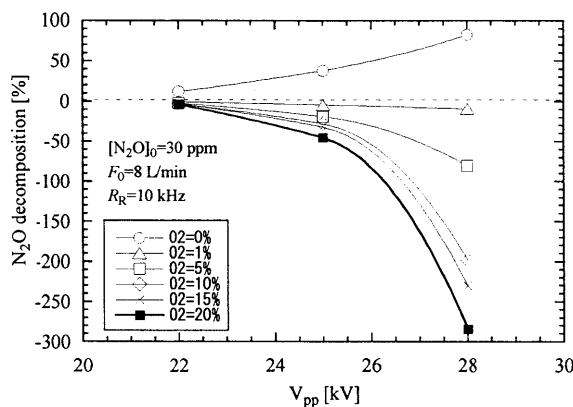


Fig.7 Characteristics of N_2O decomposition by DBD in the case of $N_2O(30\text{ ppm})-\text{O}_2(0\text{--}20\%)-\text{N}_2(50\%)-\text{Ar(balance)}$ system.

3.3 $O_2-\text{N}_2-\text{Ar}$ 系

$N_2O-O_2-N_2$ 系での N_2O と NOx の生成挙動を調べるために、 O_2-N_2-Ar 系ガスをプラズマ処理した。このモデルガスでは、 N_2 濃度を 50% に固定し、 O_2 濃度を 0–15% に変化させ、Fig.7 の条件に対応するように設定した。

Fig.8 は、投入電力 70 W 一定の時の酸素濃度に対する N_2O 生成濃度、NOx 生成濃度および N_2O+NOx 合計濃度の変化である。 $O_2=5\%$ 以下では NOx は生成せず、 N_2O のみが生成した。したがって、この条件では(5)式の反応が主である。 $O_2=5\%$ 以上では N_2O 濃度は一定となり、かわって NOx 生成濃度が増加した。この場合、(5)式の反応のあとに逐次的に(6)または(7)の反応が起きていることが予想できる。合計濃度は、酸素濃度の増加につれて増加する挙動を示す。

ここで Fig.7 の挙動を考察する。 $O_2=1\%$ の場合、 N_2O は 20 ppm 生成する (Fig.8)。Fig.7において、 $O_2=1\%$ の時の N_2O 分解率はほぼ 0% であるが、これは N_2O に全く何も起こらなかったからではなく、 N_2O 初期濃度 30 ppm のうち 20 ppm が分解されて 20 ppm の N_2O が新たに生成したというふうに理解できる。また、Fig.7 の $V_{pp}=28\text{ kV}$ 、 $O_2=15\%$ では、ちょうど初期濃度 30 ppm と生成した 70 ppm の合計値の 100 ppm となっていであることから、この条件では分解反応は全く起こらず、生成反応だけが起こっていると理解することができる。

4. 結論

排ガス中に含まれる N_2O を大気温度・無触媒で高効率に分解し、温暖化ガスの削減法を確立することを目的に、大気圧非平衡プラズマによる N_2O 分解の基本特性を調べた。プラズマ条件 (印加電圧)、ガス組成 ($N_2O/O_2/N_2/Ar$)、ガス流量 (ガス滞留時間) を変化させて N_2O 分解率の変化を調べた。

N_2O-O_2-Ar 系での DBD 分解実験では、 $O_2=0\%$ 、投入電力 50W の時、 N_2O は 100% 分解された。この時のエネルギー効率は、約 0.5 g- N_2O/kWh であった。 O_2 濃度が増加すると N_2O 分解率は減少した。 $N_2O/Ar-O_2-N_2$ 系では、 $O_2=0\%$ 、投入電力 100W の時、 N_2O は 82% 分解された。この時のエネルギー効率は、約 0.2 g- N_2O/kWh であった。この系では、 O_2 濃度の増加にともなって N_2O が生成し、 $O_2=1\%$ 以上では初期濃度よりも高くなつた。

パーセントオーダーの窒素および酸素が存在する時の N_2O 生成挙動を O_2-N_2-Ar 系の DBD 反応実験により考察した。 $O_2=5\%$ 以下では N_2O のみが生成し、それ以上の酸素濃度では NOx も生成した。この反応は逐次的に起こることが予想された。

謝辞 本実験の一部は岩田豊広君 (現 NGK フィルティック) によって行なわれた。ここに謝意を表する。

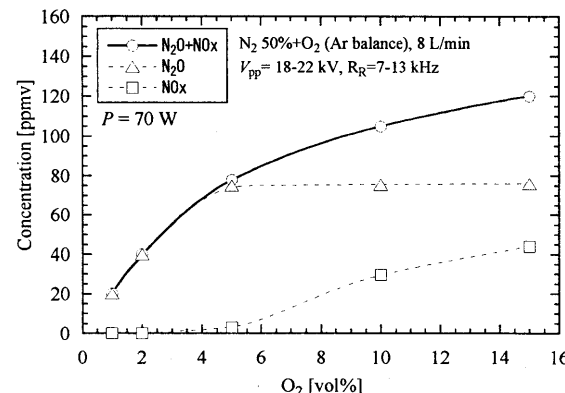


Fig.8 Formation of N_2O and NOx ($NO+NO_2$) by DBD in the case of $O_2(0\text{--}15\%)-N_2(50\%)-\text{Ar(balance)}$ system.

参考文献

- 1) 気候変動監視レポート 2007, 気象庁 (2007) 64.
- 2) 三菱重工株式会社, 特許公報第 2744666 号 (1998).
- 3) 三菱重工株式会社, 特許公報第 2895245 号 (1999).
- 4) S.Kambara, R.Kuriyama, T.Osakabe, K.Yukimura, Int.J.Hydrogen Energy 33 (2008) 6792.
- 5) S. Kambara, Y. Kumano, H. Moritomi, I. Nagao, K. Yamamoto, K. Yukimura, T. Maruyama; Jpn. J. Appl. Phys., 44, Part I (2005) 1427.